

九州大学 工学部 正員 小坪清眞
九州工業大学 正員 高西照彦

1. まえがき

一般に、上層地盤が非線型性を有する場合、下層基盤から受けた地震波動によつて、上層地盤中には永久変位が生ずる。著者等は前論¹において、非線型地盤に対する地震応答の近似解析法について考察を行つたが、その際簡単のため、地盤の永久変位を無視した場合を取扱つたが耐震工学上の見地から、地盤中に築造された構造物に対する地盤の永久変位の影響は重要な問題である。そこで本論では永久変位を考慮した非線型地盤の地震応答の近似解析法について考察を行つた。

本論の解析法の実用性を check するためには、実際に存在し得るいろいろな種類の地盤及び入力地震波について数多くの数値計算を試み、その結果と厳密解と比較検討する必要がある。このようにして、いわば数値実験によつて、必要なうらべ本論の解析法に改良を加えて、非線型地盤の地震応答の簡単で実用的な近似計算法を確立したいと考えている。

さて永久変位を考慮しない場合の計算式については前論¹において詳論したので、本論では前論と重複する部分については、簡単にその結果のみを記すに留める。

2. 地盤の振動方程式（多質点系による厳密解）

下層基盤における地震加速度 $\ddot{\phi}$ が与えられた場合の上層地盤の振動を求めるのに、上層地盤を図-1に示すように多質点系に置換して計算を行つた。いま地盤を深さ方向に l_i に分割しその中央に質量が集中しているものとして、単位巾及び単位奥行きの土を考えれば、基盤の動き $\ddot{\phi}$ によって惹起される地盤のせん断振動の方程式は、 i 点に対して次のようにある。

$$\frac{w_i}{g} \ddot{u}_i = \ddot{z}_{i+1} - \ddot{z}_i + \mu_{ii}(\dot{u}_{i+1} - \dot{u}_i) - \mu_{i(i-1)}(\dot{u}_i - \dot{u}_{i-1}) - \frac{w_i}{g} \dot{\phi} \quad (1)$$

$$(i=1, 2, \dots, 8, \quad u_0=0, \quad u_{8+1}=u_8, \quad z_{8+1}=0, \quad \mu_{8+1}=0)$$

ここに、 g は地盤中の質点の数、 u_i は地盤中 i 点の基盤に対する相対変位、 μ_{ij} は $(i-1)$ 点と i 点との間のせん断変形速度に比例する減衰係数、 w_i は i 点の集中質量で $w_i = \rho l_i$ 。 $\dot{\phi}$ は土の単位体積重量である。また \ddot{z}_i は i 点と $(i-1)$ 点との間に働くせん断力であつて地盤の歪 γ_i の函数である。本論では図-1に示すように \ddot{z}_i は bilinear な関係で結ばれていくと仮定した。ここで γ_i については、地盤は各質点間では直線的に変位すると仮定し、歪 γ_i を $\gamma_i = (u_i - u_{i-1})/l_i$ で求めた。 l_i は各質点間の距離を表わす。

ここで γ_i の関係が分れば、 \ddot{z}_i が与えられるといつ式から刻々の地盤変位 u_i を計算することができる。

3. 地盤の振動方程式（modal analysis による近似解法）

地盤のオーダ次の振動型を U_p とすれば、地盤の i 点の変位は次式のように表わせる。

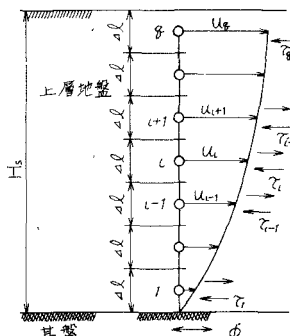


図-1

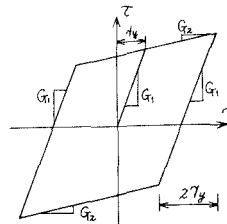


図-2

$$U_i = \sum_{p=1}^P b_p U_{pi} \quad \dots \quad (2)$$

$$\ddot{b}_p + 2h_{gp}N_{gp}\dot{b}_p + N_{gp}^2(b_p - d_p) = -\delta_p \ddot{\phi}, \quad \delta_p = \left(\frac{\sum_{i=1}^P w_i}{P} U_{pi} \right) / \left(\frac{\sum_{i=1}^P w_i}{P} U_{pi}^2 \right) \quad \dots \quad (3)$$

$$D_i = \sum_{p=1}^P d_p U_{pi} \quad \dots \quad (4)$$

ここに、 N_{gp} , h_{gp} はそれぞれ地盤のオーナ次の固有円振動数、減衰常数、 P は採用する振動型の最高次数を示す。また、 d_p は地盤のオーナ次の永久変位の大きさを示す項であって、 D_i は地盤の i 番の永久変位を表わす。ここで、(4)式にみるよう各振動型に対する永久変位を重ね合わせて地盤の各点における永久変位を求めるという考え方には、原理的には勿論成り立たない。しかし、地盤振動において、地盤変位に及ぼす高次振動の影響はほとんど無視できる位小さくと見てよいかとすれば、実用的には(4)式はそのまま容認できなくもないと思われる。

さて、 N_{gp} , h_{gp} , d_p をそれぞれ振動振巾の函数と考え、更にその函数型が与えられれば、地盤が地震加速度 $\ddot{\phi}$ を受けて非線型振動を行なう場合に、(2),(3),(4)の各式から地盤の刻々の変位 U_i 及び永久変位 D_i を求めることができる。なお、 N_{gp} , h_{gp} , d_p の計算式については後述する。

4. N_{gp} , h_{gp} について

N_{gp} , h_{gp} の計算式については、既に前論¹に詳しく述べたので本論ではその結果だけを以下に示す。

$$N_{gp}^2 = \left[\sum_{i=1}^P G_{ii} l_i \gamma_{pi} \{ \gamma_{pi} - (1-\beta_i)(\gamma_{pi} - \gamma_{p,y}) S(\gamma_{pi} - \gamma_{p,y}) \} \right] / \left[(\alpha_p H_s)^2 \sum_{i=1}^P \frac{w_i}{P} U_{pi}^2 \right] \quad \dots \quad (5)$$

$$h_{gp} = h_{gp}^{es} + h_{gp}^{us} \quad \dots \quad (6)$$

$$h_{gp}^{es} = \left[\sum_{i=1}^P G_{ii} l_i \gamma_{pi} (1-\beta_i)(\gamma_{pi} - \gamma_{p,y}) S(\gamma_{pi} - \gamma_{p,y}) \right] / \left[2\pi (\alpha_p H_s N_{gp})^2 \sum_{i=1}^P \frac{w_i}{P} U_{pi}^2 \right] \quad \dots \quad (7)$$

ここに、 $\gamma_{pi} = \alpha_p H_s (U_{pi} - U_{p,i-1}) / l_i$ 。 α_p は地盤変位を無次元化した値で $\alpha_p = b_p / H_s$ 。 H_s は上層地盤の深さである。 $\gamma_{p,y}$ は地盤の限界歪で、 $S(x)$ は階段函数を表わす。また、 $\beta_i = G_{ii}/G_{11}$ である。さらに、 h_{gp}^{us} は地盤の弾性変形に対する粘性抵抗にもとづく減衰常数で、振動数には無関係な一定値を有する。 h_{gp}^{us} は非線型振動にもとづく等価減衰常数である。

地盤変位が与えられれば α_p が求められるので、(5),(6),(7)の各式からそれぞれ N_{gp} , h_{gp} の値を計算することができる。

5. d_p について

オーナ次振動に対する永久変位 d_p については次のように考へた。すなはち、例えば、オーナ次振動において、相隣り合う質点間のせん断力一歪曲線が図-3 に示すように $A \rightarrow B \rightarrow C$ と変化したとき、C 点で入力が 0 になつたとすれば、そのときに生ずる質点間の永久歪は γ_E となる。したがつて質点間の永久変位 d_p は次式のように表わせら。

$$d_{pi} = \gamma_E l_i / U_{pi} = \{ (1-\beta_i)(\gamma_{pi} - \gamma_{p,y}) S(\gamma_{pi} - \gamma_{p,y}) l_i \} / U_{pi} \quad \dots \quad (8)$$

故に、オーナ次の永久変位は各質点間の永久変位をすべて加え合せで

$$d_p = \sum_{i=1}^P d_{pi} = \left\{ \sum_{i=1}^P (1-\beta_i)(\gamma_{pi} - \gamma_{p,y}) S(\gamma_{pi} - \gamma_{p,y}) l_i \right\} / U_{pi} \quad \dots \quad (9)$$

6. 減衰係数 M_1 について

減衰係数 M_1 と減衰常数 h_{gp}^{us} との関係を求めれば次のようになる。

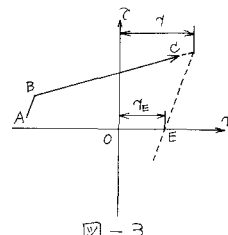


図-3

地盤振動の全運動 energy K , 全歪 energy V , 散逸函数 F はそれぞれ次式のように表わせる。

$$K = \frac{1}{2} \sum_{p=1}^P \sum_{i=1}^{n_p} \frac{m_i}{g} U_{pi}^2 \quad \dots \quad (10)$$

$$V = \frac{1}{2} \sum_{p=1}^P m_{gp}^2 b_p^2 \sum_{i=1}^{n_p} \frac{m_i}{g} U_{pi}^2 \quad \dots \quad (11)$$

$$F = \frac{1}{2} \sum_{p=1}^P b_p^2 \sum_{i=1}^{n_p} m_i (U_{pi} - U_{p,i-1})^2 \quad \dots \quad (12)$$

故に、(10)～(12)式を Lagrange's equation に代入して

$$\ddot{b}_p + 2\dot{b}_p \left\{ \frac{\sum_{i=1}^{n_p} m_i (U_{pi} - U_{p,i-1})^2}{2 \sum_{i=1}^{n_p} \frac{m_i}{g} U_{pi}^2} \right\} + n_{gp}^2 b_p = 0 \quad \dots \quad (13)$$

したがつて、 $\ddot{b}_p = \frac{\sum_{i=1}^{n_p} m_i (U_{pi} - U_{p,i-1})^2}{2 m_{gp} \sum_{i=1}^{n_p} \frac{m_i}{g} U_{pi}^2}$ $\dots \quad (14)$

上式から地盤中の各点に対する m_i が与えられれば、各振動次数に対する b_p^{vis} を求めることができ、逆に b_p^{vis} を定めればそれに応する m_i を計算することができる。

本論では m_i は地盤中どこでも等しいとおき、オ1次振動の減衰常数を $n_{gp}^{vis} = \gamma_0$ と与えたときの $m_i = m$ を(14)式から求め、つづいてこの m を用いてオス次以上の高次振動の減衰常数 n_{gp}^{vis} を同じ(14)式を使って算出した。

7. 数値積分について

地盤の地震応答の厳密解を求めるには(1)式を、近似解を求めるには(3)式を、
1時間毎に与えられた地震加速度 \ddot{y} に対して刻々数値積分をして、それぞれ
 U_{pi}, b_{pi} を算出することが必要である。この計算は永久変位の項 d_p を除けば前論と全く同じ計算方法によって行った。すなわち(3)式の数値積分については、現在計算中の半 cycle の変位の最大振幅値としてその直前の半 cycle の最大振幅値の絶対値を採用して n_{gp}, h_{gp} を求めて逐次数値積分を実行した。

永久変位の項 d_p については、オ1次振動において、相隣り合う質点間のせん断力一歪曲線が図-1a に示すように $A \rightarrow B \rightarrow C \rightarrow D \rightarrow E$ と変化したとき、永久歪 $\gamma_d = \gamma_A + \gamma_B$ によって算出した。したがつて、オ1次振動の永久歪 γ_d は次式によつて求めらるこができる。

$$d_p = \sum_{i=1}^{n_p} \gamma_{A,i} / U_{pi} \quad \dots \quad (15)$$

故に、半 cycle 每に(15)式から計算される d_p を(3)式に代入して刻々数値積分を実行すれば、永久変位を考慮した場合の地盤の非線型振動の近似解が求められる。

入力地震波が正弦波ではなくて不規則地震波の場合には、各半 cycle での d_p の値の選定にはいろいろな方法が考えられる。本論では次のようにして d_p を決定した。例へば、オ1次振動の変位振巾が図-5 のような場合には、 $\{O \rightarrow A: d_p = 0, n_{gp}, h_{gp} = f(O)\}, \{A \rightarrow B: d_p = 0, n_{gp}, h_{gp} = f(A)\}, \{B \rightarrow C: d_p = d_p^A + d_p^B, n_{gp}, h_{gp} = f(B)\}, \{C \rightarrow D: d_p = d_p^A + \max(d_p^B, d_p^D), n_{gp}, h_{gp} = \max(f(B), f(D))\}, \{D \rightarrow E: d_p = d_p^D + d_p^E, n_{gp}, h_{gp} = f(E)\}$ のようにそれぞれ d_p, n_{gp}, h_{gp} を定めた。

ここに、 d_p 等は A 点の変位振巾を用いて(9)式から計算される永久変位、 $f(A)$ 等は A 点の変位振巾を用いて(5)、(7)の両式から計算される固有円振動数、減衰常数である。また、 $f(O)$ は線型の場合の固有

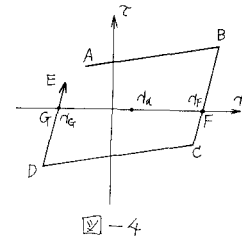


図-4

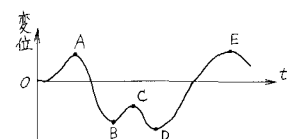


図-5

円振動数、減衰常数である。

8 数値計算例及び考察

本論で述べた非線型振動の近似計算理論の妥当性を検討するため、次に述べるような条件の場合について数値計算を行って、それと厳密解と近似解による地盤の地震応答曲線を求めた。

地盤の深さは $H_s = 15\text{m}$ とし、それを10等分して質点数を10個とした。土の単位体積重量 $\gamma = 1.8 \text{ kN/m}^3$ とした。地盤のせん断弾性常数は地表面で G_0 の三角形分布とし、 G_0 としては一例として、 $G_0 = 80 \text{ kg/cm}^2$, 20 kg/cm^2 の二種類の地盤について計算を行った。 β_i としては各点とも等しい値 $\beta_i = G_0/G_{0i}$ = 0.1 としたものとした。弾性限界歪みは地盤中すべて一定として $\gamma_y = 0.002$ とおいた。また、 h_{gp}^{max} は $h_{gp}^{max} = 0.252$ を採用した。これに応する M の値は $G_0 = 80, 20 \text{ kg/cm}^2$ についてそれぞれ $M = 2 \times 10^4, 1 \times 10^4 \text{ kg-s/m}^2$ である。上記の M に対する高次振動の h_{gp} は $P = 2 \sim 5$ についてそれを $1.24, 1.93, 2.08, 2.05$ とする。地震波としては ElCentro 地震波(1940.5.18., NS 成分)を用いた。

計算結果を図-6(a), (b) に示す。(一応オーダ振動までとて計算を行ったが、高次振動についてはその影響が少くせいかオーダ位までとれば十分であった。) 図-6において実線が厳密解を、実線が永久変位を考慮した場合の近似解を示している。同図から(b)の場合は両者が比較的よく合っているが、(a)の場合については 1 秒附近から両者の差異が大きくなってきていくことが分かる。一方、地盤の加速度応答については厳密解と近似解は比較的よく一致している。(別図参照) なお参考のために、

図-6(b)に $d_p = 0$ とした場合

合、すばやく永久変位を全く考慮しない場合の変位応答を一枚鎖線で示した。図-7 は地表面の変位が最大になつた時刻の各点の変位を地表面の変位を単位にして plot したものである。 $G_0 = 20 \text{ kg/cm}^2$ についてのみ示した。今後、本解析法に改良を加えて、より高い実用性をもつものにしたと考えである。

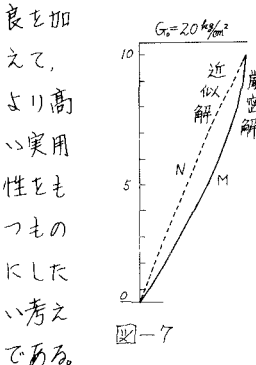


図-7

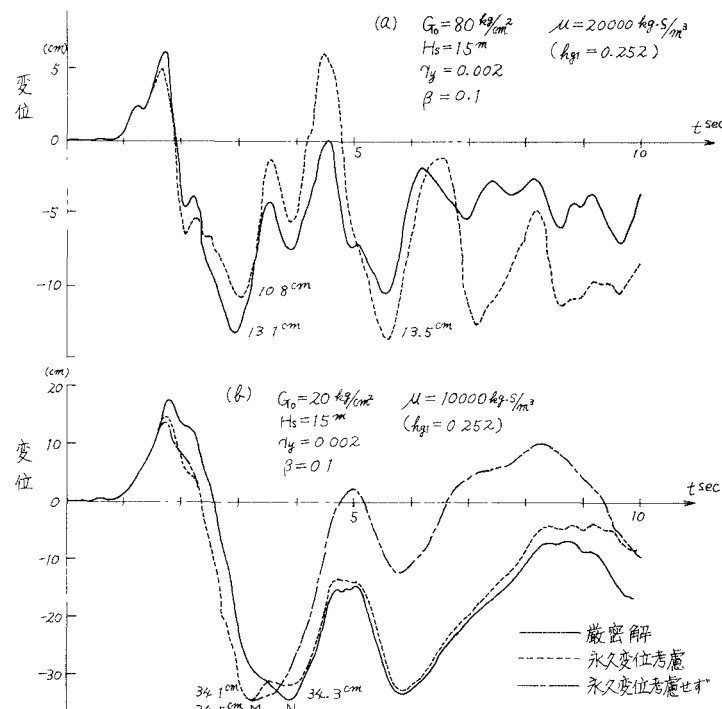


図-6 地盤表面の変位応答